



NetWorks Sp. z o.o.  
Laboratorium Badań Środowiskowych  
ul. Józefa Piusa Dziekońskiego 3  
00-728 Warszawa  
e-mail: [Laboratorium@networks.pl](mailto:Laboratorium@networks.pl)



AB 419

**S P R A W O Z D A N I E 3897/2025/OS**  
**Z POMIARÓW PÓL ELEKTROMAGNETYCZNYCH**  
**WYKONANYCH DLA POTRZEB OCHRONY ŚRODOWISKA**

Badany obiekt: Instalacja radiokomunikacyjna T-Mobile Polska S.A.  
Numer i nazwa: 59264 (21264N!) KPR\_NAROL\_PLAZOW  
Adres: PŁAZÓW DZ.119/2, Powiat lubaczowski, WOJ. PODKARPACKIE

Data wykonania pomiarów: 2025-05-13

Sprawozdanie z badań bez pisemnej zgody laboratorium nie może być powielane inaczej niż w całości.  
Wynik przedstawione w niniejszym sprawozdaniu odnoszą się wyłącznie do badanego obiektu i do warunków i konfiguracji urządzeń w dniu wykonywania pomiarów.

**1. Właściciel badanego obiektu:**

T-Mobile Polska S.A., ul. Marynarska 12, 02-674 Warszawa

**2. Zleceniodawca:**

T-Mobile Polska S.A., ul. Marynarska 12, 02-674 Warszawa

**3. Przedstawiciel zleceniodawcy:**

NetWorks Sp. z o.o.

**4. Zakres zlecenia:**

Wykonanie badania i opracowanie sprawozdania z pomiarów natężenia pola elektrycznego i pola magnetycznego dla instalacji radiokomunikacyjnej T-Mobile Polska S.A. zlokalizowanej w miejscowości PŁAZÓW DZ.119/2.

**5. Cel zlecenia:**

Wykonanie pomiarów pól elektromagnetycznych w otoczeniu instalacji radiokomunikacyjnej 59264 (21264N!) KPR\_NAROL\_PLAZOW w odniesieniu do wymagań określonych w *Rozporządzeniu Ministra Klimatu z dnia 17 lutego 2020 r. w sprawie sposobów sprawdzania dotrzymania dopuszczalnych poziomów pól elektromagnetycznych w środowisku (Dz.U. 2022 poz. 2630)*.

**6. Pomiary zostały wykonane przez:**

Kubik Bartłomiej  
Radomski Oskar

**7. Informacje o źródłach pól elektromagnetycznych**

**7.1. Sposób identyfikacji badanych źródeł pól elektromagnetycznych**

Identyfikacji źródeł i parametrów technicznych dokonano na podstawie analizy dokumentacji dotyczącej zlecenia oraz obserwacji miejsca wykonywania badań.

**7.2. Opis miejsca zainstalowania anten i urządzeń technicznych. Opis obiektu badań i jego otoczenia**

Instalacja radiokomunikacyjna zlokalizowana jest na terenie ogrodzonym. Anteny zawieszono na wieży kratowej. Urządzenia sterujące oraz zasilające zainstalowano w kontenerze u podstawy wieży. Wokół instalacji znajduje się wieś.

Instalacja radiokomunikacyjna jest obiektem bezobsługowym. Okresowe stanowiska pracy związane są z prowadzonymi w zależności od potrzeb konserwacjami, przeglądami, strojeniem i naprawami.

Sprawozdanie z badań bez pisemnej zgody laboratorium nie może być powielane inaczej niż w całości.  
Wynik przedstawione w niniejszym sprawozdaniu odnoszą się wyłącznie do badanego obiektu i do warunków i konfiguracji urządzeń w dniu wykonywania pomiarów.

### 7.3. Parametry techniczne źródła pola elektromagnetycznego

Dane przedstawiające maksymalne parametry pracy instalacji przekazane przez zleceniodawcę:

Parametry systemu nadawczo-odbiorczego:

Charakterystyka promieniowania		kierunkowa					
Rzeczywisty czas pracy [h/dobę]		24					
Warunki pracy		znamionowe					
Rodzaj wytwarzanego pola		stacjonarne					
Lp.	Częstotliwość lub zakresy częstotliwości pracy [MHz]	Typ/producent anteny	liczba anten	Azymut [°]	kąt pochylenia [°]	Wysokość środka elektrycznego anteny [m n.p.t.]	Równoważna moc promieniowana izotropowo (EIRP) [W]
1	800/900/1800/2100	AQU4518R25v18 Huawei	1	60	0-10**/0-10**/2-12**/2-12**	43.8	23683
2	800/900/1800/2100	AQU4518R25v18 Huawei	1	130	0-10**/0-10**/2-12**/2-12**	43.8	23683
3	800/900/1800/2100	AQU4518R25v18 Huawei	1	210	0-10**/0-10**/2-12**/2-12**	43.8	23683
4	800/900/1800/2100	AQU4518R25v18 Huawei	1	290	0-10**/0-10**/2-12**/2-12**	43.8	23683

\* wskazane wartości kąta pochylenia anten, zgodnie z informacją uzyskaną od zleceniodawcy, są wartościami stałymi

\*\* pomiary wykonano zgodnie z pkt 13., ppkt 2 załącznika do Rozporządzenia Ministra Klimatu z dnia 17 lutego 2020 r. (Dz. U. 2022, poz. 2630).

Parametry radiolinii:

Charakterystyka promieniowania		kierunkowa					
Rzeczywisty czas pracy [h/dobę]		24					
Warunki pracy		znamionowe					
Rodzaj wytwarzanego pola		stacjonarne					
Lp.	Linia radiowa			Antena			
	Typ/Producent	Częstotliwość pracy [GHz]	Równoważna moc promieniowana izotropowo (EIRP) [W]	Typ/producent	Średnica anteny [m]	Azymut [°]	Wysokość zainstalowania n.p.t [m]
1.	RTN XMC-3E 23G 28MHz XPIC Huawei	23	4689	A23D80S06 Huawei	0,6	227	42

### 7.4 Inne źródła pól elektromagnetycznych

Na podstawie informacji otrzymanych od użytkownika oraz obserwacji otoczenia miejsca wykonywania pomiarów stwierdzono występowanie innych źródeł pola-EM, pracujących w systemie: telefonii komórkowej (800MHz-3800MHz), linii radiowych (5GHz-40GHz), które istotnie wpływają na wyniki pomiarów.

## 8. Opis pomiarów

### 8.1. Metoda badań

Zgodna z rozporządzeniem Ministra Klimatu z dnia 17 lutego 2020 r. w sprawie sposobów sprawdzania dotrzymania dopuszczalnych poziomów pól elektromagnetycznych w środowisku (Dz.U. 2022 poz. 2630), określona w pkt 25 ppkt 1 załącznika do niniejszego rozporządzenia.

### 8.2. Termin pomiarów i warunki środowiskowe

Podczas wykonywania pomiarów pól elektromagnetycznych nie występowały opady atmosferyczne. Wyniki pomiaru parametrów pogodowych przedstawia poniższa tabela:

Sprawozdanie z badań bez pisemnej zgody laboratorium nie może być powielane inaczej niż w całości.  
 Wynik przedstawione w niniejszym sprawozdaniu odnoszą się wyłącznie do badanego obiektu i do warunków i konfiguracji urządzeń w dniu wykonywania pomiarów.

Data [rrrr-mm-dd]	Godzina [hh:mm-hh:mm]	Warunki środowiskowe			
		Temperatura [°C]		Wilgotność względna [%]	
2025-05-13	12:15-13:20	Przed pomiarem	Po pomiarach	Przed pomiarem	Po pomiarach
		14.8	14.5	62.2	64.1

Przedstawione wyżej warunki środowiskowe, występujące podczas wykonywania pomiarów pól elektromagnetycznych, są zgodne ze specyfikacją techniczną użytego zestawu pomiarowego.

### 8.3. Warunki pracy urządzeń nadawczych

Podczas pomiarów w przypadku uzyskania wyniku pomiaru szerokopasmowego wykonanego zastosowaną metodą, dla zakresów częstotliwości od 10 MHz do 300 GHz, powiększonego o rozszerzoną niepewność pomiaru  $U$  dla współczynnika rozszerzenia  $k = 2$  przekraczającego 70% najniższej dopuszczalnej wartości składowej elektrycznej lub magnetycznej pola dla objętych pomiarami zakresów częstotliwości, uwzględnia się poprawki pomiarowe przekazane przez zleceniodawcę, umożliwiające uwzględnienie maksymalnych parametrów pracy instalacji zgodnie z pkt 7 załącznika do Rozporządzeniem Ministra Klimatu z dnia 17 lutego 2020 r. w sprawie sposobów sprawdzania dotrzymania dopuszczalnych poziomów pól elektromagnetycznych w środowisku (Dz. U. 2022, poz. 2630) zaznaczając, że wymagane jest wykonanie pomiaru z wykorzystaniem miernika selektywnego. W przypadku uzyskania wyniku pomiaru szerokopasmowego wykonanego zastosowaną metodą, dla zakresów częstotliwości od 10 MHz do 300 GHz, powiększonego o rozszerzoną niepewność pomiaru  $U$  dla współczynnika rozszerzenia  $k = 2$  nieprzekraczającego 70% najniższej dopuszczalnej wartości składowej elektrycznej lub magnetycznej pola dla objętych pomiarami zakresów częstotliwości, nie uwzględnia się poprawek pomiarowych.

### 8.4. Wyposażenie pomiarowe

Zestaw pomiarowy służący do pomiaru natężenia składowej elektrycznej pola elektromagnetycznego złożony z szerokopasmowego miernika i sondy pomiarowej:

Oznaczenie miernika	Producent	Model	Numer fabryczny	Oznaczenie sondy	Producent	Model	Numer fabryczny
MW-06	Wavecontrol	Miernik pól elektromagnetycznych SMP2	22SN2088	SW-11	Wavecontrol	Sonda WPF60	22WP230219

Mierniki natężenia pola elektromagnetycznego podlegają okresowemu sprawdzeniu zgodnie z procedurą wewnętrzną P-03 i PB-01. Świadectwo wzorcowania zestawu pomiarowego z dnia 6 listopada 2024 o numerze LWiMP/W/390/24 wydane przez Politechnika Wrocławską.

Data ważności świadectwa wzorcowania: 6 listopada 2026 (zgodnie z procedurą wewnętrzną P-03).

Termohigrometr:

Oznaczenie:	TH-15	Producent:	AZ INSTRUMENT CORP	Model:	Termohigrometr AZ8706
-------------	-------	------------	--------------------	--------	-----------------------

Data ważności świadectwa wzorcowania: 29 stycznia 2027 (zgodnie z procedurą wewnętrzną P-03).

Dalmierz:

Oznaczenie	Producent	Typ	Numer seryjny	Nr świadectwa wzorcowania	Data świadectwa wzorcowania
D-15	Leica	Dalmierz Leica Disto D510	1061801909	L4- L41.4180.14.2017.3086.1	1 września 2017

Data ważności świadectwa wzorcowania: 1 września 2027 (zgodnie z procedurą wewnętrzną P-03).

Odbiornik GNSS:

Odbiornik GNSS wbudowany w miernik natężenia pola elektromagnetycznego użyty podczas pomiarów	Producent	Model
	UBlox	MAX-M8Q

Odbiorniki podlegają okresowemu sprawdzeniu zgodnie z procedurą wewnętrzną P-03.

Sprawozdanie z badań bez pisemnej zgody laboratorium nie może być powielane inaczej niż w całości.  
Wynik przedstawione w niniejszym sprawozdaniu odnoszą się wyłącznie do badanego obiektu i do warunków i konfiguracji urządzeń w dniu wykonywania pomiarów.

## 9. Wyniki pomiarów

### Pole elektryczne

Nr pionu	Opis umiejscowienia pionu (punktu) pomiarowego	Wysokość pomiaru [m]	Zmierzona wartość natężenia pola elektrycznego E [V/m] <sup>1,5</sup>	Wartość natężenia pola elektrycznego powiększona o niepewność pomiaru <sup>4</sup> E [V/m]	Wskaźnikowa wartość poziomu emisji pól elektromagnetycznych WME <sup>3</sup>	Współrzędne geograficzne pionu (punktu) pomiarowego <sup>2</sup>
1	DPP - w płaszczyźnie otworu okiennego budynku mieszkalnego, piętro 1/1, ul. Kościuszki 14, Płazów	0.3-2.0	<1.0*	1.6	0.06	50°18'52.2" 23°14'18.2"
2	GKP w odległości poziomej 12m od anteny sektorowej az. 60°	0.3-2.0	<1.0*	1.6	0.06	50°18'53.3" 23°14'17.5"
3	GKP w odległości poziomej 36m od anteny sektorowej az. 60°	0.3-2.0	<1.0*	1.6	0.06	50°18'53.6" 23°14'18.6"
4	GKP w odległości poziomej 63m od anteny sektorowej az. 60°	0.3-2.0	<1.0*	1.6	0.06	50°18'54.0" 23°14'19.7"
5	GKP w odległości poziomej 94m od anteny sektorowej az. 60°	0.3-2.0	<1.0*	1.6	0.06	50°18'54.4" 23°14'21.1"
6	GKP w odległości poziomej 9m od anteny sektorowej az. 130°	0.3-2.0	<1.0*	1.6	0.06	50°18'52.6" 23°14'17.2"
7	GKP w odległości poziomej 28m od anteny sektorowej az. 130°	0.3-2.0	<1.0*	1.6	0.06	50°18'52.2" 23°14'17.9"
8	GKP w odległości poziomej 62m od anteny sektorowej az. 130°	0.3-2.0	<1.0*	1.6	0.06	50°18'51.5" 23°14'19.3"
9	GKP w odległości poziomej 92m od anteny sektorowej az. 130°	0.3-2.0	<1.0*	1.6	0.06	50°18'51.1" 23°14'20.4"
10	GKP w odległości poziomej 16m od anteny sektorowej az. 210°	0.3-2.0	<1.0*	1.6	0.06	50°18'52.6" 23°14'16.4"
11	GKP w odległości poziomej 38m od anteny sektorowej az. 210°	0.3-2.0	<1.0*	1.6	0.06	50°18'51.8" 23°14'15.7"
12	GKP w odległości poziomej 66m od anteny sektorowej az. 210°	0.3-2.0	<1.0*	1.6	0.06	50°18'51.1" 23°14'15.0"
13	GKP w odległości poziomej 94m od anteny sektorowej az. 210°	0.3-2.0	<1.0*	1.6	0.06	50°18'50.4" 23°14'14.3"
14	GKP w odległości poziomej 28m od anteny radioliniowej az. 227°	0.3-2.0	<1.0*	1.6	0.06	50°18'52.2" 23°14'15.7"
15	GKP w odległości poziomej 65m od anteny radioliniowej az. 227°	0.3-2.0	<1.0*	1.6	0.06	50°18'51.5" 23°14'14.3"
16	GKP w odległości poziomej 8m od	0.3-2.0	<1.0*	1.6	0.06	50°18'52.9" 23°14'16.4"

Sprawozdanie z badań bez pisemnej zgody laboratorium nie może być powielane inaczej niż w całości.  
 Wynik przedstawione w niniejszym sprawozdaniu odnoszą się wyłącznie do badanego obiektu i do warunków i konfiguracji urządzeń w dniu wykonywania pomiarów.

	anteny sektorowej az. 290°					
17	GKP w odległości poziomej 32m od anteny sektorowej az. 290°	0.3-2.0	<1.0*	1.6	0.06	50°18'53.3" 23°14'15.4"
18	GKP w odległości poziomej 64m od anteny sektorowej az. 290°	0.3-2.0	<1.0*	1.6	0.06	50°18'53.6" 23°14'13.9"
19	GKP w odległości poziomej 94m od anteny sektorowej az. 290°	0.3-2.0	<1.0*	1.6	0.06	50°18'54.0" 23°14'12.5"
20	PKP na az. 4° w odległości poziomej 20m od anteny sektorowej az. 290°	0.3-2.0	<1.0*	1.6	0.06	50°18'53.6" 23°14'16.8"
21	PKP na az. 253° w odległości poziomej 47m od anteny sektorowej az. 290°	0.3-2.0	<1.0*	1.6	0.06	50°18'52.6" 23°14'14.6"
22	PKP na az. 167° w odległości poziomej 42m od anteny sektorowej az. 210°	0.3-2.0	<1.0*	1.6	0.06	50°18'51.5" 23°14'17.2"
—	GKP w odległości poziomej 252m od anteny sektorowej az. 60°	0.3-2.0	<1.0*	1.6	0.06	50°18'57.2" 23°14'28.0"
—	GKP w odległości poziomej 249m od anteny sektorowej az. 130°	0.3-2.0	<1.0*	1.6	0.06	50°18'47.9" 23°14'26.5"
—	GKP w odległości poziomej 255m od anteny sektorowej az. 210°	0.3-2.0	<1.0*	1.6	0.06	50°18'45.7" 23°14'10.3"
—	GKP w odległości poziomej 252m od anteny sektorowej az. 290°	0.3-2.0	<1.0*	1.6	0.06	50°18'55.8" 23°14'4.9"

Pole magnetyczne (wyznaczone na podstawie pomiaru wartości natężenia pola elektrycznego)

Nr pionu	Opis umiejscowienia pionu (punktu) pomiarowego	Wysokość pomiaru [m]	Wartość natężenia pola magnetycznego H [A/m] <sup>1</sup>	Wartość natężenia pola magnetycznego powiększona o niepewność pomiaru <sup>4</sup> H [A/m]	Wskaźnikowa wartość poziomu emisji pól elektromagnetycznych WM <sub>H</sub> <sup>3</sup>	Współrzędne geograficzne pionu (punktu) pomiarowego <sup>2</sup>
1	DPP - w płaszczyźnie otworu okiennego budynku mieszkalnego, piętro 1/1, ul. Kościuszki 14, Płazów	0.3-2.0	<0.003*	0.004	0.06	50°18'52.2" 23°14'18.2"
2	GKP w odległości poziomej 12m od anteny sektorowej az. 60°	0.3-2.0	<0.003*	0.004	0.06	50°18'53.3" 23°14'17.5"
3	GKP w odległości poziomej 36m od anteny sektorowej az. 60°	0.3-2.0	<0.003*	0.004	0.06	50°18'53.6" 23°14'18.6"
4	GKP w odległości poziomej 63m od anteny sektorowej az. 60°	0.3-2.0	<0.003*	0.004	0.06	50°18'54.0" 23°14'19.7"
5	GKP w odległości poziomej 94m od anteny sektorowej az. 60°	0.3-2.0	<0.003*	0.004	0.06	50°18'54.4" 23°14'21.1"
6	GKP w odległości poziomej 9m od	0.3-2.0	<0.003*	0.004	0.06	50°18'52.6" 23°14'17.2"

Sprawozdanie z badań bez pisemnej zgody laboratorium nie może być powielane inaczej niż w całości.  
 Wynik przedstawione w niniejszym sprawozdaniu odnoszą się wyłącznie do badanego obiektu i do warunków i konfiguracji urządzeń w dniu wykonywania pomiarów.

	anteny sektorowej az. 130°					
7	GKP w odległości poziomej 28m od anteny sektorowej az. 130°	0.3-2.0	<0.003*	0.004	0.06	50°18'52.2" 23°14'17.9"
8	GKP w odległości poziomej 62m od anteny sektorowej az. 130°	0.3-2.0	<0.003*	0.004	0.06	50°18'51.5" 23°14'19.3"
9	GKP w odległości poziomej 92m od anteny sektorowej az. 130°	0.3-2.0	<0.003*	0.004	0.06	50°18'51.1" 23°14'20.4"
10	GKP w odległości poziomej 16m od anteny sektorowej az. 210°	0.3-2.0	<0.003*	0.004	0.06	50°18'52.6" 23°14'16.4"
11	GKP w odległości poziomej 38m od anteny sektorowej az. 210°	0.3-2.0	<0.003*	0.004	0.06	50°18'51.8" 23°14'15.7"
12	GKP w odległości poziomej 66m od anteny sektorowej az. 210°	0.3-2.0	<0.003*	0.004	0.06	50°18'51.1" 23°14'15.0"
13	GKP w odległości poziomej 94m od anteny sektorowej az. 210°	0.3-2.0	<0.003*	0.004	0.06	50°18'50.4" 23°14'14.3"
14	GKP w odległości poziomej 28m od anteny radioliniowej az. 227°	0.3-2.0	<0.003*	0.004	0.06	50°18'52.2" 23°14'15.7"
15	GKP w odległości poziomej 65m od anteny radioliniowej az. 227°	0.3-2.0	<0.003*	0.004	0.06	50°18'51.5" 23°14'14.3"
16	GKP w odległości poziomej 8m od anteny sektorowej az. 290°	0.3-2.0	<0.003*	0.004	0.06	50°18'52.9" 23°14'16.4"
17	GKP w odległości poziomej 32m od anteny sektorowej az. 290°	0.3-2.0	<0.003*	0.004	0.06	50°18'53.3" 23°14'15.4"
18	GKP w odległości poziomej 64m od anteny sektorowej az. 290°	0.3-2.0	<0.003*	0.004	0.06	50°18'53.6" 23°14'13.9"
19	GKP w odległości poziomej 94m od anteny sektorowej az. 290°	0.3-2.0	<0.003*	0.004	0.06	50°18'54.0" 23°14'12.5"
20	PKP na az. 4° w odległości poziomej 20m od anteny sektorowej az. 290°	0.3-2.0	<0.003*	0.004	0.06	50°18'53.6" 23°14'16.8"
21	PKP na az. 253° w odległości poziomej 47m od anteny sektorowej az. 290°	0.3-2.0	<0.003*	0.004	0.06	50°18'52.6" 23°14'14.6"
22	PKP na az. 167° w odległości poziomej 42m od anteny sektorowej az. 210°	0.3-2.0	<0.003*	0.004	0.06	50°18'51.5" 23°14'17.2"
—	GKP w odległości poziomej 252m od anteny sektorowej az. 60°	0.3-2.0	<0.003*	0.004	0.06	50°18'57.2" 23°14'28.0"
—	GKP w odległości poziomej 249m od anteny sektorowej az. 130°	0.3-2.0	<0.003*	0.004	0.06	50°18'47.9" 23°14'26.5"
—	GKP w odległości poziomej 255m od	0.3-2.0	<0.003*	0.004	0.06	50°18'45.7" 23°14'10.3"

Sprawozdanie z badań bez pisemnej zgody laboratorium nie może być powielane inaczej niż w całości.  
 Wynik przedstawione w niniejszym sprawozdaniu odnoszą się wyłącznie do badanego obiektu i do warunków i konfiguracji urządzeń w dniu wykonywania pomiarów.

	anteny sektorowej az. 210°					
—	GKP w odległości poziomej 252m od anteny sektorowej az. 290°	0.3-2.0	<0.003*	0.004	0.06	50°18'55.8" 23°14'4.9"

GKP – Główny Kierunek Pomiarowy

DPP – Dodatkowy Pion Pomiarowy

PKP – Pomocniczy Kierunek Pomiarowy

<sup>1</sup> wyniki oznaczone \* są wynikami poniżej czułości zestawu pomiarowego i są wynikami spoza zakresu akredytacji. Do obliczenia wyniku skorygowanego przyjęto wartość skorelowaną z rzeczywistym wynikiem pomiaru - dolną granicę akredytowanego zakresu pomiarowego metody

<sup>2</sup> współrzędne geograficzne pozyskane metodą pomiaru bezpośredniego

<sup>3</sup> do wyznaczenia wartości wskaźnikowej  $W_{M_E}$  i  $W_{M_H}$  przyjęto na podstawie uzgodnień z klientem oraz rozpoznania źródeł, jako wartości dopuszczalne pola elektrycznego i magnetycznego odpowiednio 28 V/m i 0,073 A/m.

<sup>4</sup> do wyznaczenia niepewności dla wyników poniżej czułości zestawu pomiarowego, przyjęto niepewność dla minimalnej wartości z zakresu pomiarowego.

<sup>5</sup> maksymalna wartość chwilowa

Niepewność oszacowano zgodnie z dokumentem P-03 „Procedura nadzoru nad wyposażeniem” w postaci niepewności rozszerzonej wynikającej z niepewności standardowej pomnożonej przez współczynnik rozszerzenia  $k=2$ .

Całkowita szacowana niepewność rozszerzona składowej E wynosi odpowiednio: 58,9% dla częstotliwości do 40 GHz

Umiejscowienie pionów (punktów) pomiarowych przedstawiono w załączniku nr 2 do niniejszego sprawozdania.

Pomiary wykonano na terenach przeznaczonych pod zabudowę mieszkaniową w obszarze pomiarowym, w którym na podstawie uprzednio przeprowadzonych obliczeń, stwierdzono występowanie w danych zakresach częstotliwości pól elektromagnetycznych o poziomach zbliżonych do poziomów dopuszczalnych, określonych w przepisach wydanych na podstawie art. 122 ust. 1 ustawy z dnia 27 kwietnia 2001 r. – Prawo ochrony środowiska.

## 10. Omówienie wyników pomiarów

W związku z tym, że żadna z wartości zmierzonych, udokumentowanych w tabelach w pkt. 9, uzyskanych w skutek zastosowania pomiaru szerokopasmowego, powiększonego o rozszerzoną niepewność pomiaru  $U$  dla współczynnika rozszerzenia  $k = 2$  nie przekroczyła 70% najniższej dopuszczalnej wartości składowej elektrycznej lub magnetycznej pola dla objętych pomiarami zakresów częstotliwości, nie uwzględnia się poprawek pomiarowych.

W wyniku zastosowania sposobu sprawdzenia dotrzymania dopuszczalnych poziomów pól elektromagnetycznych w środowisku, zgodnie pkt 25 ppkt 1 Rozporządzenia Ministra Klimatu z dnia 17 lutego 2020 r. (Dz. U. 2022, poz. 2630), w związku z tym, że żadna z wartości wskaźnikowych, udokumentowanych w tabelach w pkt. 9 nie przekracza wartości 1, stwierdza się, że w miejscach, w których wykonano pomiary w otoczeniu instalacji radiokomunikacyjnej 59264 (21264N!) KPR\_NAROL\_PLAZOW, dopuszczalne poziomy pól elektromagnetycznych w środowisku należy uznać za dotrzymane.

## 11. Podstawa prawna

- 1) Ustawa z dnia 27 kwietnia 2001 r. Prawo ochrony środowiska (Dz.U. 2024 poz. 54 z późn. zm.)
- 2) Rozporządzenie Ministra Zdrowia z dnia 17 grudnia 2019 r. w sprawie dopuszczalnych poziomów pól elektromagnetycznych w środowisku (Dz. U. 2019, poz. 2448)
- 3) Rozporządzenie Ministra Klimatu z dnia 17 lutego 2020 r. w sprawie sposobów sprawdzania dotrzymania dopuszczalnych poziomów pól elektromagnetycznych w środowisku (Dz. U. 2022, poz. 2630),
- 4) Akredytacja nr AB 419 wydana przez Polskie Centrum Akredytacji (wydanie 23, z dnia 5 marca 2024 r.)

Sprawozdanie z badań bez pisemnej zgody laboratorium nie może być powielane inaczej niż w całości.  
Wynik przedstawione w niniejszym sprawozdaniu odnoszą się wyłącznie do badanego obiektu i do warunków i konfiguracji urządzeń w dniu wykonywania pomiarów.

## 12. Spis załączników

- Załącznik 1. Lokalizacja obiektu badań
- Załącznik 2. Usytuowanie pionów (punktów) pomiarowych
- Załącznik 3. Dokumentacja fotograficzna obiektu badań

## 13. Data wydania i autoryzowania sprawozdania

Obliczenia i sprawozdanie wykonał :



Signed by /  
Podpisano przez:

Yanina Babutska

Date / Data:  
2025-05-15 21:20

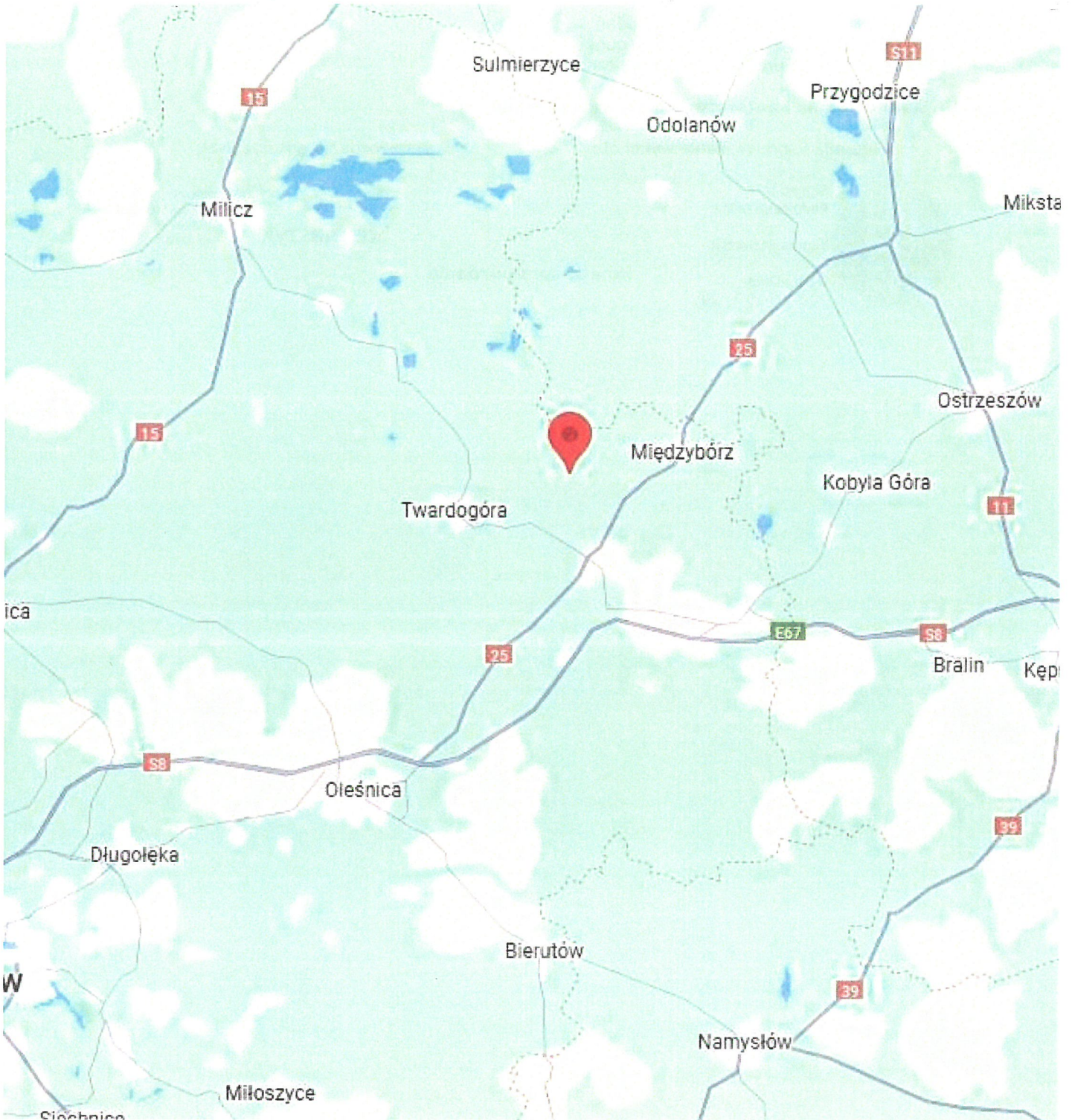
Sprawozdanie autoryzował:

**Barbara**  
**Stelmaszyk**

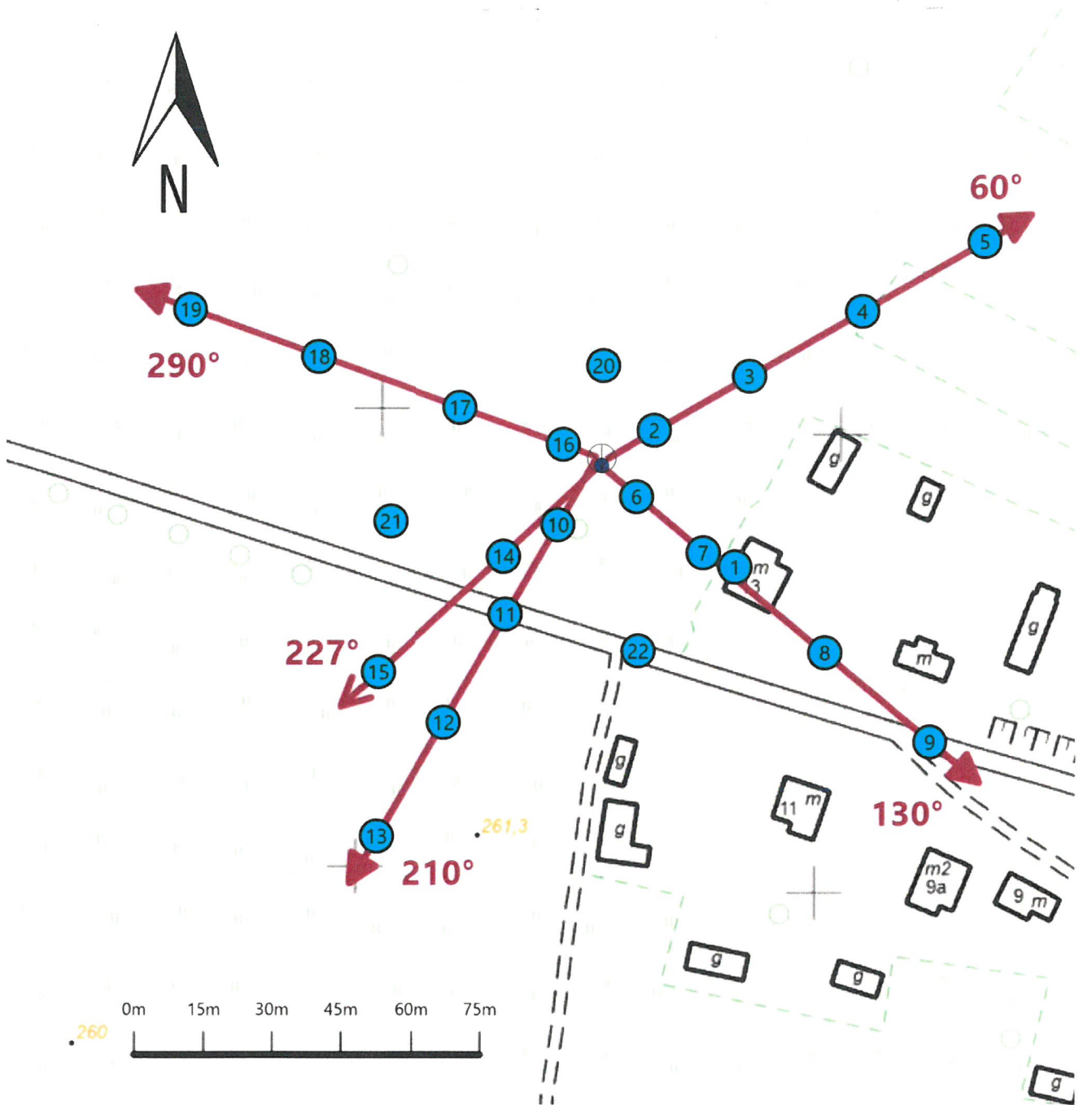
Elektronicznie podpisany  
przez Barbara Stelmaszyk  
Data: 2025.05.16  
09:15:49 +02'00'
















**Koniec sprawozdania**

Sprawozdanie z badań bez pisemnej zgody laboratorium nie może być powielane inaczej niż w całości.  
Wynik przedstawione w niniejszym sprawozdaniu odnoszą się wyłącznie do badanego obiektu i do warunków i konfiguracji urządzeń w dniu wykonywania pomiarów.



Załącznik nr 1	Instalacja radiokomunikacyjna T-Mobile Polska S.A. 59264 (21264N!) KPR_NAROL_PLAZOW Lokalizacja instalacji
----------------	--



Załącznik nr 2	<p style="text-align: center;">Instalacja radiokomunikacyjna T-Mobile Polska S.A. KPR_NAROL_PLAZOW (21264N!) Usytuowanie pionów pomiarowych w otoczeniu instalacji radiokomunikacyjnej</p>					
	<p>Legenda:</p> <table style="width: 100%; border: none;"> <tr> <td style="text-align: center;"> Źródło pola elektromagnetycznego</td> <td style="text-align: center;"> Brak dostępu</td> <td style="text-align: center;"> Pion pomiarowy</td> <td style="text-align: center;"> Kierunek oddziaływania anten sektorowych</td> <td style="text-align: center;"> Kierunek oddziaływania anten radioliniowych</td> </tr> </table>	 Źródło pola elektromagnetycznego	 Brak dostępu	 Pion pomiarowy	 Kierunek oddziaływania anten sektorowych	 Kierunek oddziaływania anten radioliniowych
 Źródło pola elektromagnetycznego	 Brak dostępu	 Pion pomiarowy	 Kierunek oddziaływania anten sektorowych	 Kierunek oddziaływania anten radioliniowych		



Załącznik nr 3

Instalacja radiokomunikacyjna T-Mobile Polska S.A.  
59264 (21264N!) KPR\_NAROL\_PLAZOW

Dokumentacja fotograficzna



NetWorks Sp. Z o.o.  
Laboratorium Badań Środowiskowych  
Ul. Józefa Piusa Dziekońskiego 3  
00-728 Warszawa  
e-mail: [Laboratorium@networks.pl](mailto:Laboratorium@networks.pl)

## ANEKS

### DOT. SPRAWOZDANIA 3897/2025/OS Z POMIARÓW PÓL ELEKTROMAGNETYCZNYCH WYKONANYCH DLA POTRZEB OCHRONY ŚRODOWISKA

Badany obiekt: Instalacja radiowa T-Mobile Polska S.A.  
Numer i nazwa: 59264 (21264N!) KPR\_NAROL\_PLAZOW  
Adres: PŁAZÓW DZ.119/2, Powiat lubaczowski, WOJ. PODKARPACKIE

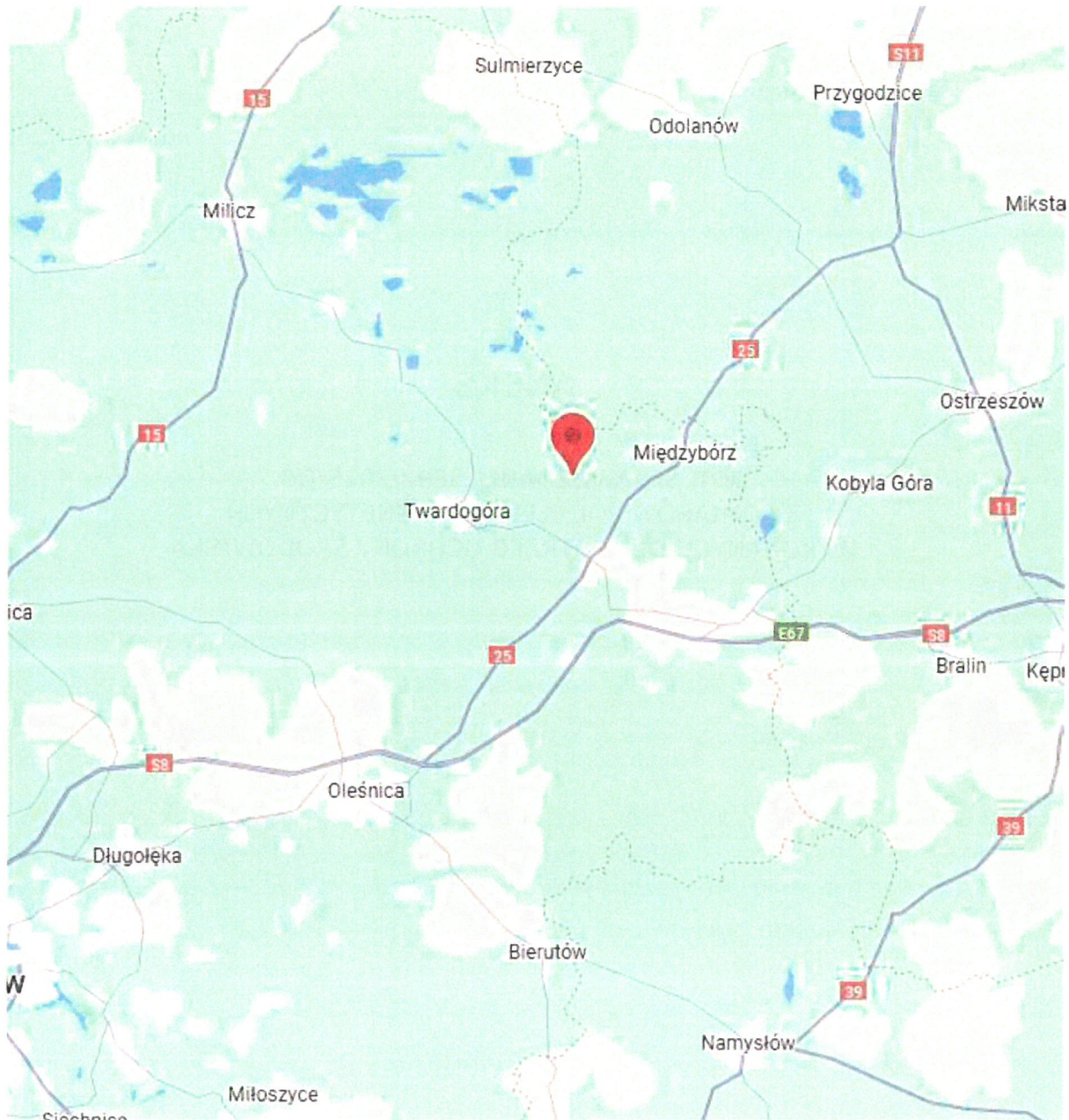
Data: 2025-05-13

Aneks do sprawozdania z badań bez pisemnej zgody laboratorium nie może być powielane inaczej niż w całości.  
Wynik przedstawione w niniejszym aneksie do sprawozdania odnoszą się wyłącznie do badanego obiektu i do warunków i konfiguracji urządzeń w dniu wykonywania pomiarów.

W wyniku błędu pisarskiego zmienia się widok mapy (Str.7) i Zał. 1

**Było:**

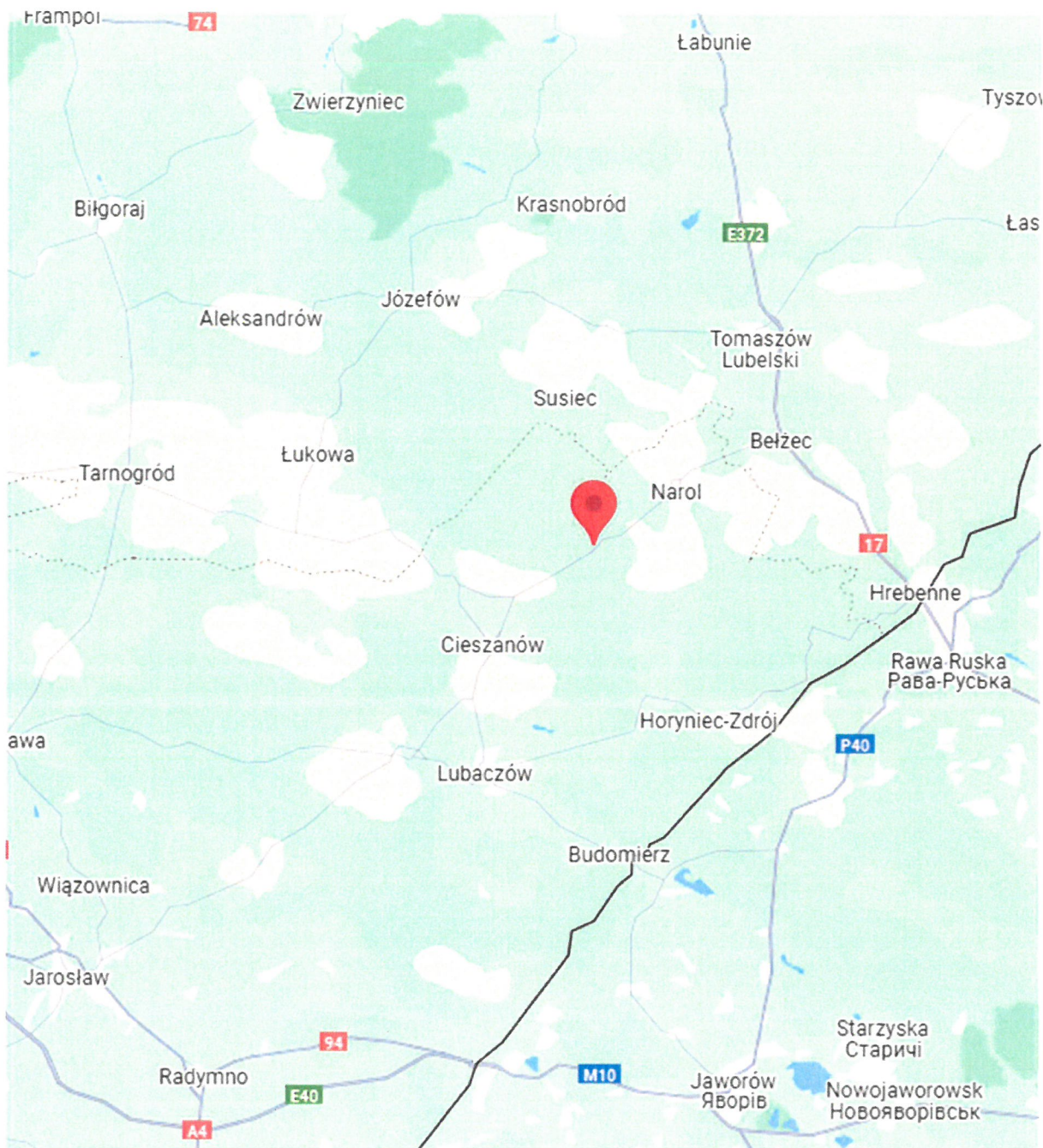
Strona 7, Zał. 1



Aneks do sprawozdania z badań bez pisemnej zgody laboratorium nie może być powielane inaczej niż w całości.  
Wynik przedstawione w niniejszym aneksie do sprawozdania odnoszą się wyłącznie do badanego obiektu i do warunków i konfiguracji urządzeń w dniu wykonywania pomiarów.

**Powinno być:**

Strona 7, Zał. 1



Piony pomiarowe zmierzone w dniu pomiarów tj. 2025-05-13 pozostają bez zmian.

**Niniejszy aneks proszę dołączyć do każdej z kopii sprawozdania.**



Aneks wykonał:

Podpisano przez:

Yanina Babutska

Date / Data:

2025-05-16 16:12

Aneks do sprawozdania z badań bez pisemnej zgody laboratorium nie może być powielane inaczej niż w całości.  
Wynik przedstawione w niniejszym aneksie do sprawozdania odnoszą się wyłącznie do badanego obiektu i do warunków i konfiguracji urządzeń w dniu wykonywania pomiarów.

Aneks autoryzował:

Barbara  
Stelmaszyk

Elektronicznie podpisany  
przez Barbara Stelmaszyk  
Data: 2025.05.16 16:20:43  
+02'00'